

Академия наук СССР  
Ордена Ленина Институт общей и неорганической химии  
им. Н.С. Курнакова

---

На правах рукописи  
Для служебного пользования  
Экз. № \_\_\_\_\_ 00089

УДК 541.128:541.49

Варгафтик Михаил Натанович

ПОЛИЯДЕРНЫЕ СОЕДИНЕНИЯ ПАЛЛАДИЯ  
В КАТАЛИЗЕ ОКИСЛИТЕЛЬНЫХ РЕАКЦИЙ

(02.00.04 - Физическая химия)

Автореферат  
диссертации на соискание учёной степени  
доктора химических наук

Москва - 1986

Работа выполнена в Ордена Ленина Институте общей и неорганической химии им.Н.С.Курнакова АН СССР.

Официальные оппоненты: Доктор химических наук,  
член-корр.АН СССР М.Е.Вольпин.

Доктор химических наук,  
профессор А.П.Пурмаль.

Доктор химических наук,  
профессор Р.Н.Шелоков.

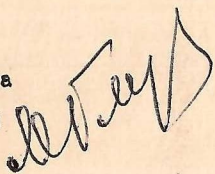
Ведущая организация - Институт катализа СО АН СССР  
(Новосибирск).

Защита диссертации состоится "23" декабря 1986 г.  
в 11 час, на заседании Специализированного совета Д.002.37.01  
при ИОНХ АН СССР по адресу: П17907, ГСП-1, Москва В-71, Ленин-  
ский проспект, 31.

С диссертацией можно ознакомиться у ученого секретаря  
Совета ИОНХ АН СССР.

Автореферат разослан "13" ноября 1986 г.

Учёный секретарь  
Специализированного совета  
кандидат химических наук



М.А.Глушкова

*Доруку Александру  
Анатольевичу в  
автора, который ему  
обязан очень многим.*

*Валера*

*13/11/86*

## ОБЩАЯ ХАРАКТЕРИСТИКА РАБОТЫ

Актуальность проблемы. Металлокомплексный катализ, длительное время развивавшийся под влиянием идей и методов координационной химии моноядерных соединений, в последние годы в значительной мере ориентируется на химию кластеров. Координация кластерами создает принципиально новые возможности осуществления каталитических превращений реагентов по сравнению с моноядерными комплексами или полиядерными соединениями, не содержащими связей металл-металл.

Интерес к этой области координационной химии связан с поисками селективных катализаторов и процессов, которые позволили бы создать безотходные, экологически чистые, ресурсо- и энергосберегающие методы переработки природного сырья.

Несмотря на быстрое развитие синтетической химии кластеров, работы по изучению их каталитических свойств носят пока эпизодический характер и ограничены главным образом реакциями гидрирования. Систематические исследования в области кластерного катализа окислительных реакций предприняты впервые в настоящей работе.

Данная работа выполнялась в соответствии с заданиями 04.01.03. М6, 04.02.М66, 07.01.Н1, 07.01.Н5, 07.01.Н15, 07.02.Н1в и 07.02.Н1д комплексной научно-технической программы 0.Ц.014 (постановление ГИИТ, Госплана СССР и Президиума АН СССР № 516/272/174 от 29.12.1981), а также Приказа-постановления АН СССР и Минхимпрома № 1028/126 от 4.11.1981.

Цель работы - синтез и изучение строения полиядерных, в том числе кластерных соединений палладия, а также исследование их химических свойств, каталитической активности и механизма каталитического действия в окислительных реакциях олефинов, алкиларе-

нов, CO и алифатических спиртов.

Научная новизна. Впервые получены кластерные соединения палладия, способные в мягких условиях катализировать:

- селективное окисление молекулярным  $O_2$  или пероксидами олефинов в алкениловые эфиры;
- селективное окислительное ацетоксилирование кислородом боковой цепи алкиларенов;
- окисление кислородом первичных алифатических спиртов в сложные эфиры, кислотная и спиртовая компоненты которых сохраняют углеродный скелет исходного спирта;
- ацетализацию альдегидов;
- окислительно-восстановительное диспропорционирование альдегидов в сложные эфиры по типу реакции Тищенко.

Впервые синтезированы и охарактеризованы:

- четырехядерные карбонилсодержащие кластеры палладия (I) с прямоугольным и с тетраэдрическим металлоостовом;
- полиядерные гидридокомплексы палладия с крупным металлоостовом, включающим связи Pd-H, каталитически активные в гидрировании, димеризации и позиционной изомеризации низших олефинов;
- скелетные катионные кластеры палладия с массивным металлоостовом из атомов палладия, содержащим координированные лиганды типа I,10-фенантролина на поверхности металлического ядра, и анионы  $OSOCH_3^-$  или  $PF_6^-$  во внешней сфере, активные в катализе окислительных реакций органических соединений и CO.

Впервые изучены кинетика и механизм реакций, приводящих к образованию и наращиванию кластерного скелета при восстановлении Pd(II) оксидом углерода и распаде четырехядерного кластера Pd(I) до Pd-черни и показано, что эти реакции протекают по механизму восстановительной металлоолигомеризации с промежуточным

образованием ацильных комплексов палладия.

Изучены кинетика и механизм каталитических реакций окислительного ацетоксилирования олефинов в растворах гигантских кластеров палладия, приводящих к виниловым и аллиловым сложным эфирам. Выявлены факторы, обеспечивающие винильное, аллильное и бензильное направления окисления непредельных углеводородов в присутствии палладиевых катализаторов.

Практическое значение работы. Разработан новый подход к созданию металлокомплексных катализаторов высокоселективного низкотемпературного окисления органических соединений на основе кластеров палладия. Найдены гомогенные катализаторы окислительного ацетоксилирования этилена в винилацетат, пропилена в аллилацетат, толуола в бензилацетат и метанола в метилформиат с селективностью по целевому продукту 97-99% в мягких условиях.

Предложен метод получения дисперсных палладиевых систем, основанный на синтезе растворимых в полярных средах кластеров с металлоостовом заданного диаметра  $\bar{d}$  от 10 до 50 Å и узким ( $\sigma = \pm 0,25 \bar{d}$ ) распределением по размеру.

Полученные данные о строении и механизме каталитического действия гигантских кластеров палладия используются в качестве учебного материала по курсам физической химии и металлокомплексного катализа в МИТХТ им. Ломоносова, МГИИ им. Ленина и в Новосибирском Гос. Университете.

Апробация работы. По теме диссертации опубликовано 53 статьи и получено 10 авторских свидетельств СССР об изобретениях. Отдельные части работы докладывались на 4-й Республиканской конференции по окислительному гетерогенному катализу (Баку, 1978), I-й Всесоюзной конференции по металлоорганической химии (Москва, 1979), 4-й Всесоюзной конференции по жидкофазному окислению орга-

нических соединений (Баку, 1979), I-м Всесоюзном семинаре по химии кластеров (Шушенское, 1979), I-м и 2-м Советско-Итальянском симпозиумах по химии окиси углерода (Рим, 1980, Москва, 1981), 6-й Всесоюзной конференции по каталитическим реакциям в жидкой фазе (Алма-Ата, 1983), I-й и 2-й Всесоюзных конференциях по химии кластеров (Новосибирск, 1983, Одесса, 1985), 4-м Международном симпозиуме по гомогенному катализу (Ленинград, 1984), 6-й Европейской конференции по металлоорганической химии (Рига, 1985), 5-м Всесоюзном научно-практическом совещании по химии, технологии и применению благородных металлов (Черноголовка, 1985), а также на конкурсах научных работ ИОНХ АН СССР (1975, 1977, 1978, 1982, 1984 и 1985 г.г.) и на Межинститутском семинаре по катализу (Москва, ИХФ, 1986).

Структура работы. Диссертация состоит из введения, 4 глав, экспериментальной части, выводов и библиографии, включающей 202 наименования. Материал изложен на 205 стр. машинописного текста и содержит 64 рисунка и 22 таблицы.

#### ОСНОВНЫЕ РЕЗУЛЬТАТЫ

Возможности моноядерных комплексов в окислительном катализе ограничены, как правило, координацией одного из реагентов; либо окислителя, например  $O_2$ , либо окисляемого субстрата. Переход к многоядерным комплексам позволяет не только координировать молекулы обоих участников реакции в одном комплексе за счет связей металл-металл, но и осуществлять синхронный или последовательный перенос электронов и атомных групп между координированными молекулами реагентов.

Однако, поскольку кластеры наиболее типичны для переходных металлов в низших состояниях окисления и обычно стабильны лишь в

восстановительной или инертной среде, идея использовать их для окислительного катализа вызвала сомнения у большинства специалистов, и до постановки данной работы примеры катализа реакций окисления комплексами со связью металл-металл практически отсутствовали.

Вместе с тем, поиск подобных катализаторов представляет интерес не только в связи с необходимостью расширения возможностей металлокомплексного катализа, но также и для выяснения химической природы активных центров традиционных гетерогенных металлических катализаторов окислительных процессов.

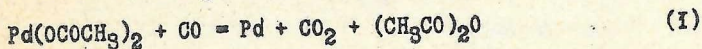
В качестве объектов в настоящей работе избраны соединения палладия, которые изучали в реакциях окисления непредельных углеводородов (олефины, алкиларены), CO и алифатических спиртов.

#### I. Синтез и химические свойства карбонилсодержащих полиядерных комплексов палладия

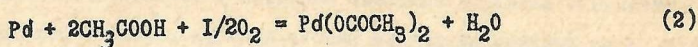
Существование кластерных соединений палладия в формальной степени окисления (0) или промежуточной между (II) и (0) весьма вероятно в восстановительной среде, не содержащей окислителя, или при его недостатке. С целью поиска путей синтеза таких соединений исследовали взаимодействие солей Pd(II) с оксидом углерода, который может выполнять функции как восстановителя, так и π-акцепторного лиганда, способного стабилизировать низшие состояния окисления переходных металлов.

#### I. Механизм взаимодействия Pd(II) с CO в неводных растворах

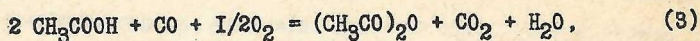
В растворах уксусной кислоты или ее смесей с бензолом, как нами обнаружено, реакция CO с ацетатом Pd(II) приводит наряду с металлическим Pd и CO<sub>2</sub> к уксусному ангидриду:



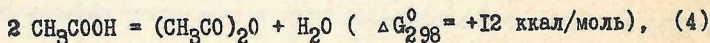
В сочетании с реакцией реокисления Pd(0) до Pd(II)



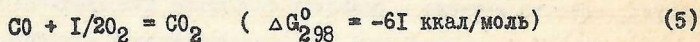
эта реакция позволяет осуществить каталитический (по палладию) процесс



в котором термодинамически неблагоприятная дегидратация уксусной кислоты

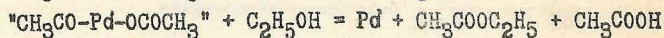
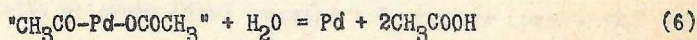


протекающая самопроизвольно лишь выше 600°C, сопряжена с экзотергическим окислением CO



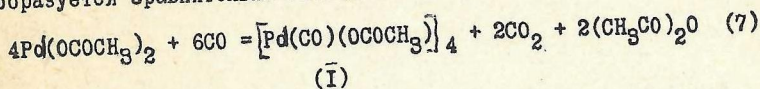
Термодинамическое и кинетическое сопряжение процессов (4) и (5) обеспечивается карбонилсодержащими соединениями палладия, которые являются общими промежуточными продуктами сопрягаемых реакций.

Наши опыты показали, что CO<sub>2</sub> выделяется из бензольного или уксуснокислого раствора ацетата Pd(II) сразу после начала поглощения CO, металлический Pd при этом еще не образуется. По данным ИК-спектров, на ранних стадиях реакции возникают комплексы с мостиковой карбонильной группой ( $\nu_{\text{CO}} = 1950 \text{ см}^{-1}$ ), а также с ацетильной группой  $\text{CH}_3\text{C}=\text{O}$ , связанной с Pd(II) ( $\nu_{\text{CO}} = 1810 \text{ см}^{-1}$ ). Существование ацетильного производного палладия подтверждается стехиометрией реакций, в результате которых, по данным ГЖК, образуются органические производные ацильной группы в количествах, эквивалентных выделившемуся металлическому Pd:

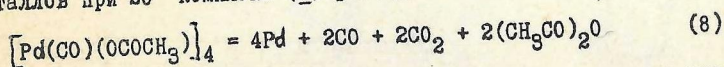


При наличии в растворе даже небольших концентраций  $H_2O$  ( $\geq 0,1\%$  вес) ацильный комплекс разлагается по реакции (6), что приводит к непроизводительным затратам CO при осуществлении процесса (9). Разработка эффективных методов удаления воды из каталитической системы может позволить реализовать эту промышленно важную реакцию.

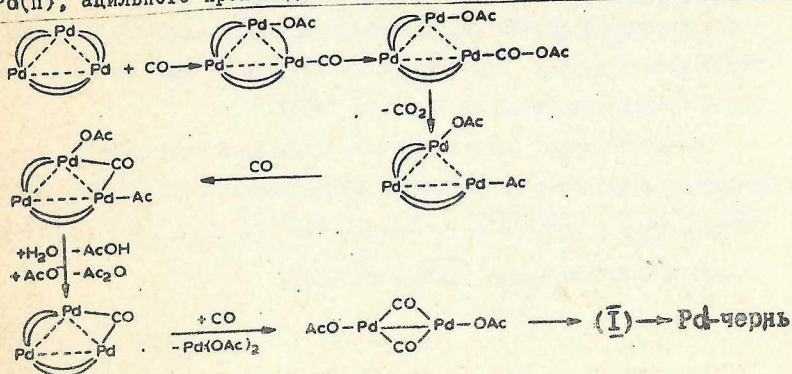
В водных и спиртовых растворах CO быстро восстанавливает Pd(II) до металла. Наши опыты показали, что в безводной  $CH_3COOH$  при осторожном восстановлении ацетата Pd(II) оксидом углерода образуется сравнительно стабильный комплекс Pd(I):



При нагревании в  $CH_3COOH$  или в присутствии ацетатов щелочных металлов при  $20^\circ$  комплекс (I) распадается до Pd-черни:



Полученные результаты, в том числе данные по кинетике накопления и расходования комплекса (I), позволяют заключить, что ацетат Pd(II) (в уксусной кислоте при  $20-60^\circ$  - тример  $Pd_3(OCOCH_3)_6$  без связей металл-металл) восстанавливается оксидом углерода через стадии образования промежуточных карбонильных комплексов Pd(II), ацильного производного Pd(II) и карбонилкарбоксилата Pd(I):



## 2. Карбонильные кластеры Pd(I)

Выделенный из уксусной кислоты комплекс ( $\bar{I}$ ) представляет собой, по данным рентгеноструктурного анализа<sup>\*)</sup>, кристаллосольват  $[\text{Pd}(\text{CO})(\text{OCOC}_2\text{H}_5)]_4 \cdot (\text{C}_2\text{H}_5\text{COOH})_2$ , в пустотах кристаллической решетки которого содержатся регулярные включения димера уксусной кислоты. Атомы Pd в кластере (рис. I), расположенные в углах почти правильного прямоугольника, связаны карбонильными ( $\nu(\text{CO})$  1934, 1969  $\text{cm}^{-1}$ ) и ацетатными ( $\delta(\text{OCO})$  665;  $\nu(\text{CC})$  939;  $\delta_{\text{OS}}(\text{HCC})$  1028;  $\delta_{\text{C}}(\text{HCC})$  1045;  $\delta_{\text{S}}(\text{CH}_3)$  1350;  $\delta_{\text{OS}}(\text{CH}_3)$  1420;  $\nu(\text{COO})$  1518, 1555;  $\nu(\text{CH})$  2920, 2945, 2994  $\text{cm}^{-1}$ ) симметричными мостиками.

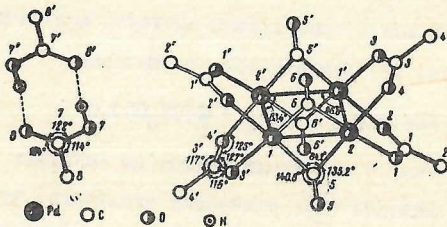


Рис. I. Структура кристаллов кластера ( $\bar{I}$ )

Расстояния Pd-Pd вдоль сторон прямоугольника, несущих мостиковые группы CO (2,663 Å), указывают на значительное взаимодействие металл-металл. Это соединение явилось первым примером структурно охарактеризованного кластера Pd(I).

По аналогичной методике с использованием соответствующих карбоновых кислот получены карбонилпропионат  $[\text{Pd}(\text{CO})(\text{OCOC}_2\text{H}_5)]_4$

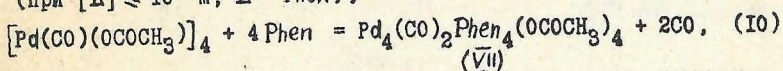
\*) Структура монокристаллов кластера ( $\bar{I}$ ) установлена Л.Г. Кузьминой и Ю.Т. Стручковым (ИНЭОС АН СССР).

(II) и карбонилбензоат  $[\text{Pd}(\text{CO})(\text{OCOC}_6\text{H}_5)]_4 \cdot 1/2 (\text{C}_6\text{H}_5\text{COOH})$  (III), по составу и ИК-спектрам подобные карбонилацетату. Входящая в состав (I) кристаллизационная  $\text{CH}_3\text{COOH}$  удаляется при нагревании в вакууме и может быть снова введена после экспозиции в парах  $\text{CH}_3\text{COOH}$ . В бензольном растворе карбонилкарбоксилаты (I)-(III) способны обменивать карбоксилатные группы на анионы других карбоновых кислот. Таким путем из (I) получены  $[\text{Pd}(\text{CO})(\text{OCOCF}_3)]_4$  (IV),  $[\text{Pd}(\text{CO})(\text{OCOSCl}_3)]_4 \cdot 2\text{C}_6\text{H}_6$  (V) и  $[\text{Pd}(\text{CO})(\text{OCOSCH}_2\text{Cl})]_4 \cdot 2\text{C}_6\text{H}_6$  (VI).

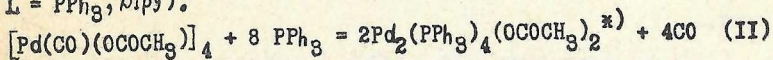
Координированные в кластерах (I)-(VI) группы CO замещаются при действии оснований. Взаимодействие с "жесткими" основаниями, например, ацетатами щелочных металлов сопровождается окислительно-восстановительным распадом кластера по уравнению (8).

Под действием пиридина Pd(I) диспропорционирует на Pd(II) и Pd(0):  $[\text{Pd}(\text{CO})(\text{OCOSCH}_3)]_4 + 4\text{Py} = 2\text{Pd} + 2\text{PdPy}_2(\text{OCOSCH}_3)_2 + 4\text{CO}$  (9)

Использование более "мягких" оснований  $\text{L} = \text{PPh}_3$ , 2,2'-дипиридила (Dipy) и 1,10-фенантролина (Phen), способных достаточно прочно координироваться с Pd(I), позволяет осуществить как частичное (при  $[\text{L}] \leq 10^{-3}\text{M}$ ,  $\text{L} = \text{Phen}$ ):



так и полное замещение координированных групп CO (при  $[\text{L}] \geq 0,5\text{M}$ ,  $\text{L} = \text{PPh}_3, \text{Dipy}$ ):



без изменения степени окисления атомов палладия.

По данным рентгеноструктурного анализа<sup>ЖЖ</sup>, комплекс (VII)

ж) Приведена простейшая формула комплекса. Мол.масса не определена.

ЖЖ) Строение кристаллов (VII) установлено Т.С.Ходашовой и М.А.Порай-Кошицем (ИОНХ АН СССР).

состоит из четырехядерных кластерных катионов  $[\text{Pd}_4(\text{CO})_2\text{Phen}_4]^{4+}$  и внешнесферных анионов  $\text{CH}_3\text{COO}^-$  (Рис.2). В отличие от исходного кластера (I), металлоостов кластерного катиона (II) имеет форму, близкую к тетраэдру. При переходе от (I) к (II) мостиковые группы  $\text{CH}_3\text{COO}^-$  вытесняются во внешнюю сферу, а две группировки  $\text{Pd}_2(\text{CO})^{2+}$ , которые были связаны в структуре (I) ацетатными мостиками, удерживаются в катионе (II) лишь связями металл-металл (2,718 Å).

Вследствие ионного строения (II) хорошо растворяется в воде и полярных растворителях, где ведет себя как электролит средней

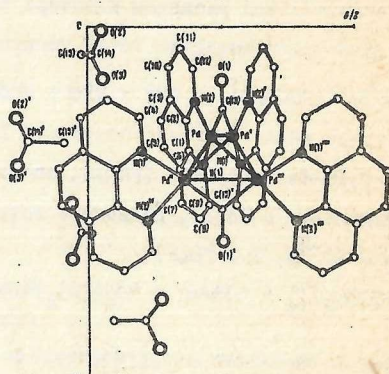
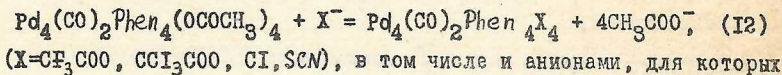


Рис.2. Структура кластера (II)

силы.

По реакциям типа (I0) и (II), с использованием различных концентраций *Phen* и *Dipy* получены также комплексы состава  $\text{Pd}_2(\text{CO})\text{Dipy}(\text{O}(\text{COCH}_3)_2)$  (IX) и  $\text{Pd}_2(\text{CO})\text{Phen}(\text{O}(\text{COCH}_3)_2)$  (X). Ацетатные ионы в соединениях (II)-(X) легко замещаются:



внутриферная координация с Pd(I) нетипична ( $X = ClO_4, HSO_4$ ), что согласуется с катионным характером этих кластерных комплексов.

При восстановлении ацетата Pd(II) оксидом углерода в растворах  $CH_3COOH$ , содержащих *Phen*, получено соединение (XI), элементный состав которого практически совпадает с составом комплекса (VI). Однако в спектре ПМР\* этого вещества помимо сигналов, отвечающих группам  $CH_3COO$  и *Phen*, имеется узкий синглет ( $\delta = -15,8$  м.д.), указывающий на наличие гидридных протонов, которые отсутствуют в (VI).

Карбонилгидридные комплексы Pd образуются также при действии CO на растворы ацетата Pd(II) и *Phen* ( $[Pd]/[Phen] = 1:1$ ) в карбоновых кислотах  $RCOOH$  ( $R = CH_3, C_2H_5, \text{трет.}C_4H_9$ ), предварительно обработанных водородом. По данным элементного анализа и ПМР, состав комплексов отвечает простейшей формуле  $Pd_4Phen_3(CO)_9H_2(OCOR)_3$  (XII). Ацидолиганды  $RCOO^-$ , по-видимому, находятся во внешней сфере комплексов (XII), о чем свидетельствует электропроводность их метанольных растворов и легкость замещения  $RCOO^-$  на анионы  $PF_6^-, ClO_4^-, BPh_4^-, CF_3COO^-$ . По данным просвечивающей микроскопии высокого разрешения\*\*), металлоостов этих комплексов имеет поперечник не более 6-8 Å, а по данным EXAFS\*\*\*)

\* Спектры ПМР комплексов (XI)-(XII) исследованы С.В.Зинченко и В.А.Хуторянским (Иркутский Гос.Университет).

\*\* Электронномикроскопические исследования, обсуждаемые здесь и далее, выполнены А.Л.Чувилиным и В.И.Зайковским (Институт катализа СО АН СССР).

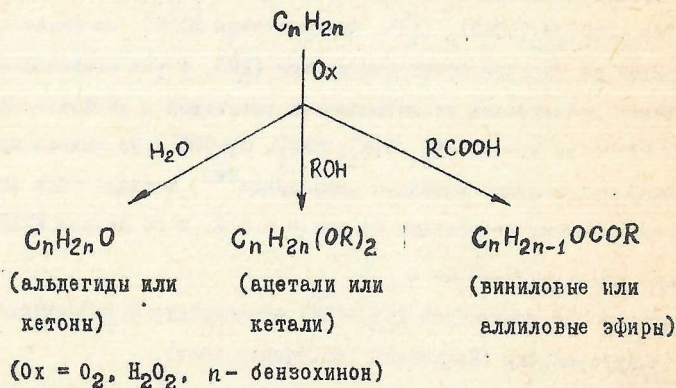
\*\*\* Здесь и далее обсуждаются результаты исследований методом EXAFS, проведенных Д.И.Кочубеем (Институт катализа СО АН СССР).

межатомные расстояния в аналоге ( $\overline{\text{XII}}$ ) с анионом  $\text{PF}_6^-$  равны 2,76 Å (Pd-Pd), 1,94 Å (Pd-C(O)) и 2,52 Å (Pd-C(N)). Не исключено, что источником гидридных протонов при образовании комплексов ( $\overline{\text{XI}}$ ) и ( $\overline{\text{XII}}$ ) являются атомы H из лигандов Phen и молекул растворителя, о чем свидетельствует наличие атомов D в лиганде Phen в образцах комплексов, синтезированных в среде  $\text{CH}_3\text{COOD}$ .

## II. Комплексы палладия в катализе окислительных реакций

### I. Окисление непредельных соединений под действием комплексов Pd, не содержащих связей металл-металл

Обнаруженные в 1960 г. (Моисеев И.И., Варгафтик М.Н., Сыркин Я.К. ДАН СССР, 1960, т.130 (4), с.820-823; т.133 (2), с.377-380) реакции окисления олефинов молекулярным  $\text{O}_2$ ,  $\text{H}_2\text{O}_2$  или хинонами, катализируемые соединениями палладия

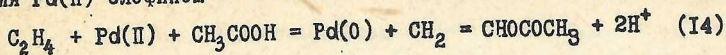


основаны на способности ацидокомплексов Pd(II) восстанавливаться олефинами в гидроксилсодержащих растворителях до Pd(0), который далее окисляется до исходного соединения Pd(II).

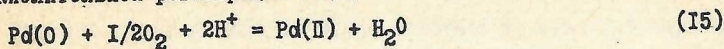
Так, в уксусной кислоте каталитический (по палладию) процесс

$$\text{C}_2\text{H}_4 + 1/2\text{O}_2 + \text{CH}_3\text{COOH} \longrightarrow \text{CH}_2=\text{CHOCOSH}_3 + \text{H}_2\text{O} \quad (19)$$

фактически складывается из стехиометрических реакций восстановления Pd(II) олефином



и окислительной регенерации Pd(II)



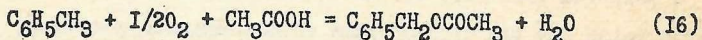
В реакциях типа (I4) помимо моноядерных могут принимать участие также би- или трехядерные ацидокомплексы, например,  $Pd_2Cl_6^{2-}$ , не содержащие, однако, связей металл-металл.

По стадийной схеме с последовательным чередованием реакций восстановления Pd(II) субстратом и реокисления Pd(0) в Pd(II) кислородом или другими окислителями (в том числе с помощью переносчиков электронов — солей меди и др.) протекают также известные реакции окислительного сочетания и окисления ароматических углеводородов, окисления CO кислородом в воде и в спиртах, а также окислительная дегидратация карбоновых кислот, сопряженная с окислением CO (реакция (3)).

С точки зрения стадийной схемы типа (I4)-(I5) в принципе безразлично, в каком виде — Pd(II) или Pd(0) вводить катализатор в систему: процесс (I3) может начаться как с реакции (I4), так и с реакции (I5). Однако для окислительных превращений пропилена и алкиларенов, как показали наши опыты, существенно важно начальное состояние Pd-катализатора.

В растворе  $CH_3COOH$  ацетат Pd(II), в согласии с литературными данными, восстанавливается пропиленом с образованием смеси изо-пропенил-, цис- и транс-н.пропенил- и аллилацетатов, состав которой варьирует в зависимости от концентрации ацетатных ионов и почти не изменяется при введении  $O_2$ . В присутствии Pd-черни или нанесенного на  $SiO_2$  металлического Pd практически единственным продуктом реакции  $C_3H_6$  с  $O_2$  и  $CH_3COOH$  является аллилацетат.

Толуол превращается при действии ацетата или трифторацетата Pd(II) в продукты окислительного сочетания ароматических колец (п-, м- и о-дитолилы) с небольшой примесью крезилацетатов – продуктов окисления в ароматическое ядро. Напротив, в присутствии Pd-черни O<sub>2</sub> окисляет толуол в среде CH<sub>3</sub>COOH только в боковую цепь:



Аналогичные изменения в направлении окислительных превращений пропилена и толуола обнаружены нами при восстановлении ацетата Pd(II) этими углеводородами в атмосфере O<sub>2</sub> по мере накопления металлического Pd. Эти данные указывают, что на поверхности металлической фазы окисление непредельных углеводородов идет не только за счёт реакций (I4)–(I5), но и по иному механизму, обусловленному катализом соединениями Pd в промежуточной между (0) и (II) степени окисления.

В связи с этим были изучены каталитические возможности систем на основе карбонилкарбоксилатов Pd(I).

## 2. Катализаторы на основе карбонилкарбоксилатов Pd(I)

Наши опыты показали, что карбонилкарбоксилаты (I)–(IV) не восстанавливаются олефинами и алкиларенами в среде CH<sub>3</sub>COOH и не проявляют каталитической активности в окислении этих углеводородов кислородом. После выдерживания кластера (I) в растворе CH<sub>3</sub>COOH, содержащем CH<sub>3</sub>COONa, в течение 30–60 мин. при 60–90° в атмосфере O<sub>2</sub> начинает проявляться каталитическая активность в окислении пропилена и толуола до аллил- и бензилацетатов соответственно (~0,1 моль/ат. Pd·ч. при 90°).

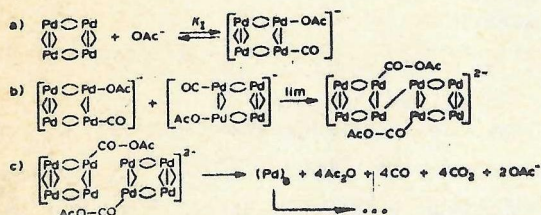
В связи с изучением генезиса каталитической активности в этой системе, где в ходе индукционного периода возникает Pd-чернь,

была подробнее исследована реакция (8). Скорость этой реакции, как показали наши опыты (спектрофотометрия,  $\lambda = 330$  нм, максимум в ЭСП кластера ( $\bar{I}$ )), описывается кинетическим уравнением:

$$-d[(\bar{I})]/dt = k[(\bar{I})]^2 \frac{[\text{CH}_3\text{COONa}]^2}{(1 + K[\text{CH}_3\text{COONa}])^2},$$

где  $k = 78 \pm 8$  моль<sup>3</sup>·л<sup>-3</sup>·с;  $K = 13 \pm 2$  моль<sup>-1</sup>·л при 60°.

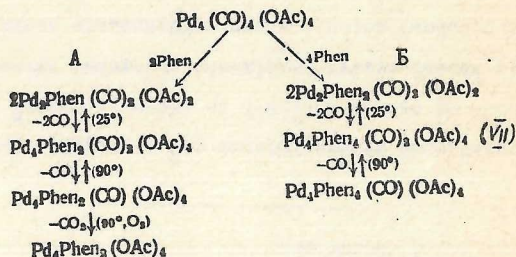
Анализ этого уравнения с учётом данных о механизме восстановления ацетата Pd(II) оксидом углерода привел к выводу, что окислительно-восстановительный распад кластера ( $\bar{I}$ ) происходит без разрушения кластерного остова, путём ступенчатого наращивания системы связей металл-металл, например, по схеме, включающей внедрение группы CO одного кластера по связи Pd-O-COCH<sub>3</sub> другого кластера и последующее элиминирование CO<sub>2</sub> и молекулы уксусного ангидрида:



Таким образом, как образование кластера ( $\bar{I}$ ) из ацетата Pd(II) и CO, так и его восстановительный распад до Pd-черни протекают по механизму восстановительной металлоолигомеризации, включающему стадии: 1) внедрение CO по связи Pd-O; 2) элиминирование CO<sub>2</sub> с образованием фрагмента Pd-ацил; 3) выделение (CH<sub>3</sub>CO)<sub>2</sub>O за счёт реакции ацильного лиганда с анионом CH<sub>3</sub>COO<sup>-</sup> и образование связей Pd-Pd.

Как показали наши опыты, более высокой каталитической активностью, чем полученные таким путём Pd-черни, обладает продукт

взаимодействия кластера  $(\bar{I})$  с "мягкими" основаниями  $L = Phen$  или  $Dipy$ , образующиеся в растворе  $CH_3COOH$  при малых ( $\leq 10^{-2} M$ ) концентрациях  $L$ . Реакции  $(\bar{I})$  с  $Phen$ , сопровождающиеся выделением координированного  $CO$  и окислением  $CO$  до  $CO_2$ , как установлено измерениями объема и состава газовой фазы, а также элементарного состава конечных и некоторых промежуточных комплексов, протекают по схеме:

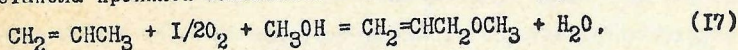


Комплексы ряда А образуются преимущественно при малых концентрациях введенного лиганда; при  $[Phen] \geq 10^{-2} M$  в основном образуются соединения ряда Б, в том числе изученный методом РСА кластер  $(\bar{VII})$ ...

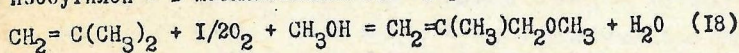
В уксуснокислых растворах кластера  $(\bar{I})$ , содержащих  $L = Phen$  или  $Dipy$  ( $[L]_{\Sigma} / [Pd]_{\Sigma} = 1:2$ ), после индукционного периода (0,5-1 ч при 80-100°) окислительное ацетоксилирование толуола кислородом идет со скоростью 0,7 моль/ат. Pd.ч с образованием бензилацетата (91%), бензилидендиацетата (8%) и бензальдегида (1%). Смесь пропилена с  $O_2$  (2:1), также после индукционного периода 0,5-1 ч, превращается в аллилацетат (90-95%) с небольшой

примесью алилидендиацетата и акролеина. Таким образом, в окислительных превращениях этих углеводов в данной каталитической системе затрагивается только метильная группа субстрата; процессы винильного окисления пропилена и окислительного сочетания и окисления в ароматическое ядро толуола, характерные для реакций этих углеводов с  $\text{Pd}(\text{II})$ , в данной системе не идут.

Каталитическая система на основе  $(\text{I}) + \text{Phen}$  позволяет также осуществить реакцию окислительного алкоксилирования: в растворе метанола пропилен окисляется в металиловый эфир



а изобутилен - в метилметалиловый эфир



Зависимость каталитической активности продуктов взаимодействия  $(\text{I})$  с  $\text{L}$  в окислении толуола и пропилена от концентрации введенного  $\text{L}$  носит экстремальный характер с максимумом при  $[\text{L}]_{\text{X}} / [\text{Pd}]_{\text{X}} = 1:2$ . Комплексы ряда Б, в которых, как показано на примере кластера  $(\text{УII})$ , каждый атом Pd прочно координирован с объемистой группой Phen, неспособны к образованию каталитически активных частиц; за каталитическую активность в этой системе ответственны продукты превращений комплексов ряда А, в состав которых входит меньшее число лигандов  $\text{L}$ . Pd-черни в этих системах практически не образуются.

Каталитические системы с близкими значениями производительности и селективности в алильном и бензильном окислении углеводов получены также обработкой СО растворов ацетата  $\text{Pd}(\text{II})$  в  $\text{CH}_3\text{COOH}$ , содержащих Phen или Dipy при  $[\text{L}]_{\text{X}} / [\text{Pd}]_{\text{X}} = 1:2$ . Они также проявляют активность в окислении непредельных углеводов после индукционного периода в атмосфере  $\text{O}_2$ . Нанесением на пористый носитель - электрохимически окисленный титан - контактных

растворов, полученных обоими методами, приготовлены гетерогенные катализаторы дожигания CO в отходящих газах, работающие, как показали испытания, проведенные в ХПИ им.Ленина, при высоких скоростях газового потока ( $4 \cdot 10^3 \text{ ч}^{-1}$ ) и малом ( $\leq 3\%$ ) содержании CO.

Химическая природа комплексов, образующихся после индукционного периода и ответственных за каталитическую активность системы, весьма сложна. Данные элементного анализа показывают, что кроме Pd ( $\sim 70\%$ ) в их состав входят также Phen или Dipy и уксусная кислота или ацетатные анионы, однако получить надежные доказательства химической индивидуальности этих веществ не удается. По каталитической активности они превосходят Pd-чернь в 3-10 раз, обратимо растворяются в воде и полярных растворителях, а их магнитная восприимчивость ( $\chi_T = (0,2 \pm 0,3) \cdot 10^{-6} \text{ CGSE}$ ) на порядок меньше магнитной восприимчивости металлического Pd.

Как показало исследование реакций, протекающих в ходе индукционного периода, каталитическое окисление углеводородов начинается лишь после полного удаления CO из системы. В связи с этим представлялось целесообразным получить каталитически активные соединения Pd, минуя карбонильные комплексы.

### III. Синтез и химические свойства полиядерных соединений палладия

В известных рецептурах металлических Pd-катализаторов обычно используют дисперсный палладий на инертных носителях в комбинации с ацетатами щелочных металлов. Нами обнаружено, что добавление ацетата Na или K к уже сформировавшейся металлической фазе, например, к Pd-черни, полученной восстановлением ацетата Pd(II) водородом или олефином, не приводит к появлению каталитической активности в окислении этилена (чернь в отсутствие  $\text{CH}_3\text{COONa}$  также неактивна). В то же время Pd-чернь, полученная восстановлением Pd(II) в растворе, содержащем  $\text{CH}_3\text{COONa}$ , проявляет

активность в окислительном ацетоксилировании этилена в винилацетат. Эти факты указывали, что присутствие основания в процессе формирования дисперсной металлической фазы способствует появлению в ней структурных фрагментов, необходимых для осуществления каталитической реакции.

"Жесткие" основания типа  $\text{CH}_3\text{COONa}$ , однако, не могут выступать в роли  $\pi$ -акцепторных лигандов, стабилизирующих комплексы переходных металлов в низших окислительных состояниях. Из числа таких лигандов в координационной химии помимо  $\text{CO}$  широко применяются также фосфины и гетероциклические  $\text{N}$ -основания с протяженной системой  $\pi$ -связей, например *Phen* или *Dipy*.

Фосфиновые комплексы  $\text{Pt}$  и  $\text{Pd}$  неустойчивы к действию  $\text{O}_2$ , особенно в кислой среде, из-за легкого окисления координированного  $\text{PR}_3$  в  $\text{R}_3\text{PO}$ . Поэтому в качестве "мягких" оснований нами были избраны стабильные в окислительной среде азотсодержащие гетероароматические соединения.

Для получения каталитически активных кластеров ацетат  $\text{Pd}(\text{II})$  восстанавливали в присутствии указанных лигандов различными восстановителями, среди которых наиболее удобен  $\text{H}_2$ . Наши опыты показали, что при соотношении  $[\text{L}]_2 / [\text{Pd}]_2 \geq 1:1$  ацетат  $\text{Pd}(\text{II})$  восстанавливается в растворе  $\text{CH}_3\text{COOH}$  очень медленно, а продукты его восстановления, если их удается получить, не проявляют каталитической активности в окислении олефинов и алкиларенов. Уменьшение соотношения  $[\text{L}]_2 / [\text{Pd}]_2$  облегчает восстановление  $\text{Pd}(\text{II})$ , и продукты реакции приобретают способность катализировать окисление указанных углеводов.

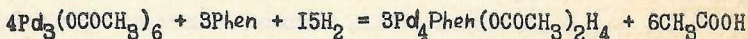
Зависимость каталитической активности от суммарного содержания  $\text{I}$  имеет такой же экстремальный характер, как и в системах  $(\bar{\text{I}}) + \text{Phen}$  (*Dipy*). Положение максимума несколько смещается в за-

висимости от природы лиганда (*Phen*, *Dipy*, 2,2'-дихинолил, 2,2'-дипиридилдикарбоновая-3,3' кислота и т.п.) и окисляемого субстрата, но обычно находится в пределах значений  $[L]_{\Sigma} / [Pd]_{\Sigma}$  от 1:2 до 1:4.

Исследование состава и химических свойств продуктов восстановления  $Pd_3(OCOCH_3)_6$  водородом в присутствии *Phen* и *Dipy* показало, что первичный продукт реакции и катализатор окисления углеводов представляют собой разные вещества.

#### 1. Полиядерные гидридокомплексы палладия

Выделенный продукт восстановления ацетата  $Pd(II)$  водородом в растворе  $CH_3COOH$ , содержащем 0,5 моля *Phen* на атом  $Pd$ , представляет собой рентгеноаморфное вещество, состав которого отвечает простейшей формуле  $Pd_4Phen(OCOCH_3)_2$  (XIII). При образовании этого вещества на 1 г-атом  $Pd(II)$  расходуется, как определено волюмометрически,  $1,8 \pm 0,05$  г-моля  $H_2$ , что могло бы отвечать следующей стехиометрии реакции:



Предположение о гидридной природе комплекса (XIII) было подтверждено данными ПМР-спектроскопии<sup>\*</sup>). В области значений  $\delta = 0 - (-80)$  м.д. в спектре высокого разрешения (частотный диапазон 25 кГц) растворов (XIII) в  $C_2D_3CN$  и  $C_2D_3OD$  не были обнаружены сигналы гидридных атомов, однако в широкополосном спектре (частотный диапазон 250 кГц) найдена широкая полоса с максимумом в области значений  $\delta = -30 - (-50)$  м.д. (ширина 5 кГц). Такие же данные получены для аналога (XIII), содержащего *Dipy* вместо *Phen*. В спектре твердого образца, снятом при вращении под "магическим"

<sup>\*</sup>) Спектры ПМР сняты В.М.Некипеловым, В.М.Мастихиним и В.Д.Чинаковым (Институт катализа СО АН СССР).

углом, имеется 3 несколько более узкие (~2 кГц) полосы в интервале значений  $\delta$  от -35 до -50 м.д. Эти данные подтверждают предположение о гидридной природе комплекса (XIII) и его *Dipy*-аналога.

Значительное уширение гидридного сигнала может быть объяснено тем, что входящие в состав (XIII) атомы Pd образуют полиядерную структуру с системой связей металл-металл, близкой к решетке металлического Pd или его гидридных фаз. Протоны групп  $\text{OSCOCH}_3$  обнаружены в спектре ЯМР в виде узкого сигнала при  $\delta = 2,0$  м.д., а протоны *Phen* представляют собой сложный неразрешенный мультиплет в области значений  $\delta$  от 6 до 9 м.д. Уширение обычно хорошо разрешаемого мультиплета протонов *Phen* можно объяснить координацией этого лиганда с атомами Pd парамагнитного металлополимера. Это подтверждается найденным для (XIII) слабым температурно-независимым парамагнетизмом в интервале 77-300 К ( $\chi_T^{300} = 0,5 \cdot 10^{-6}$  СИСТЕ)\*).

Данные просвечивающей электронной микроскопии высокого разрешения показывают, что частицы (XIII) содержат металлическое ядро близкой к сферической формы диаметром  $20 \pm 5$  Å (лиганды на фоне углеродной подложки не видны). На кривой РРА, полученной по данным EXAFS для твердого образца (XIII), имеется максимум, отвечающий межатомному расстоянию Pd-H ( $2,1 \pm 0,1$  Å) и единственный пик, соответствующий расстоянию Pd-Pd ( $2,62 \pm 0,05$  Å). Максимумы, отвечающие более удаленным атомам Pd, не обнаружены, что вероятнее всего объясняется отсутствием дальнего порядка в их расположении вследствие не вполне регулярного включения атомов H в ядро комплекса (XIII). Совокупность полученных данных хорошо согласуется с моделью комплекса (XIII), согласно которой лиганды *Phen* координированы по-

\*) Магнетохимические измерения выполнены О.Г.Эллерт и

В.М.Новоторцевым (ИОНХ АН СССР).

верхностными атомами Pd металлгидридного ядра (диаметром  $\sim 20 \text{ \AA}$ ), несущего суммарный положительный заряд, а анионы  $\text{CH}_3\text{COO}^-$  находятся во внешней сфере кластерного катиона.

Химические свойства ( $\overline{\text{XIII}}$ ) указывают на его высокую реакционную способность (табл. I). Атомы H легко вытесняются в виде  $\text{H}_2$  при взаимодействии ( $\overline{\text{XIII}}$ ) с металлической ртутью, а Pd связывается в амальгаму, что характерно для взаимодействия Hg с Pd-чернью, насыщенной водородом.

Таблица I

Продукты превращений полиядерного гидридокомплекса ( $\overline{\text{XIII}}$ ) под действием различных реагентов при  $20^\circ$

Реагент	Р-ритель, время р-ции	Продукт реакции
Hg	$\text{CH}_3\text{COOH}$ , 2 ч	$\text{H}_2$ , амальгама Pd
$\text{PPh}_3$	ДМФА, 3 ч	$\text{Pd}(\text{PPh}_3)_3$
CO (I атм)	$\text{RCOOH}$ ( $\text{R}=\text{CH}_3, \text{C}_2\text{H}_5$ , т: $\text{C}_4\text{H}_9$ ), I-3 ч	$\text{Pd}_4\text{Phen}(\text{CO})_3\text{H}_2(\text{OCOR})_3^*$
NO	$\text{CH}_3\text{COOH}$ , I ч	$\text{Pd}_4(\text{NO})_2(\text{OCOCCH}_3)_6$
"	$\text{CH}_3\text{CN}$ , 2 ч	$\text{Pd}_2\text{Phen}(\text{OCOCCH}_3)(\text{INO}_2)_3^{\text{ж}}$
$\text{O}_2$	$\text{CH}_3\text{COOH}$ , 10-30 мин	$\text{Pd}_{56}\text{I Ph}_{60}(\text{OCOCCH}_3)_{180}$
$\text{NH}_2\text{CONH}(\text{CH}_3)\text{NO}$	ДМФА, I сут.	$\text{PdPhen}(\text{NCO})_2$ ( $\overline{\text{XIV}}$ )
$\text{o-C}_6\text{O}_2\text{Cl}_4$	$\text{CH}_3\text{COOH}$ , 2 ч	$(\text{C}_6\text{O}_2\text{Cl}_4)_3\text{Pd}_9\text{Phen}_2^*$
"	ДМФА, 3 ч	$\text{C}_6\text{O}_2\text{Cl}_4 \cdot \text{Pd}(\text{DMPhen})$ ( $\overline{\text{XV}}$ )
$\text{Phen H}^+\text{X}^-$ ( $\text{X}=\text{BPh}_4, \text{PF}_6, \text{AsF}_6$ )	$\text{CH}_3\text{COOH}$ , I-3 ч	$[\text{PdPhen}_2]\text{X}_2$
Li Cl	$\text{CH}_3\text{COOH}$ , 10 мин	$\text{Li}_2[\text{Pd}_4\text{Phen}(\text{OCOCCH}_3)\text{Cl}_3]^{\text{ж}}$

\* Простейшая формула по данным элементного анализа.

ж) Строение ( $\overline{\text{XIV}}$ ) и ( $\overline{\text{XV}}$ ) установлено Т.С.Ходашовой и М.А.Порай-Кошицем (ИОНХ АН СССР) методом рентгеноструктурного анализа.

жж) Дм Phen = 2,9-диметил-1,10-фенантролин использован в исходном полиядерном комплексе вместо Phen.

При реакции с  $\text{PPh}_3$  получен описанный ранее моноядерный комплекс  $\text{Pd}(\text{PPh}_3)_3$ . При взаимодействии ( $\text{XIII}$ ) с  $\text{NO}$  в растворе  $\text{CH}_3\text{COOH}$  выделен известный четырехядерный комплекс  $\text{Pd}_4(\text{NO})_2(\text{OCOCH}_3)_6$ ; в растворе  $\text{CH}_3\text{CN}$  реакция с  $\text{NO}$  приводит к образованию комплекса состава  $\text{Pd}_2\text{Phen}(\text{NO})_3(\text{OCOCH}_3)$ . Более мягкий нитрозирующий агент— $\text{N}$ -нитрозометилмочевина образует при взаимодействии с ( $\text{XIII}$ ) неустойчивый темноокрашенный продукт, который довольно быстро разрушается до моноядерного изоцианатного комплекса  $\text{PdPhen}(\text{NCO})_2$ . При действии тетрахлор- $o$ -хинона на аналог ( $\text{XIII}$ ), в составе которого вместо Phen содержится 2,9-диметил-1,10-фенантролин, получен также моноядерный комплекс. Моноядерные комплексы  $\text{Pd}(\text{II})$  типа  $\text{PdPhen}_2\text{X}_2$  ( $\text{X} = \text{BPh}_4, \text{PF}_6, \text{AsF}_6$ ) образуются также при реакции ( $\text{XIII}$ ) с солями фенантролина  $\text{PhenH}^+\text{X}^-$ .

Таким образом, действие различных электрофильных реагентов на полиядерный гидридокомплекс ( $\text{XIII}$ ) приводит, как правило, к неустойчивым продуктам, распадающимся на моноядерные соединения палладия. В отличие от этого, в реакции ( $\text{XIII}$ ) и его аналогов с  $\text{O}_2$  образуются гигантские кластеры, в которых сохраняется массивный металлический скелет.

## 2. Гигантские кластеры палладия

При реакции с  $\text{O}_2$  входящие в состав ( $\text{XIII}$ ) гидридные атомы окисляются до  $\text{H}_2\text{O}$ , и наряду с небольшим количеством комплексов  $\text{Pd}(\text{II})$  образуется полиядерное соединение с простейшей формулой  $\text{Pd}_9\text{Phen}(\text{OCOCH}_3)_9$  ( $\text{XVI}$ ), устойчивое на воздухе и растворимое, как и ( $\text{XIII}$ ), в воде и полярных органических растворителях.

Металлоостов молекул ( $\text{XVI}$ ) наблюдается на электронных микрофотографиях в виде почти правильных сферических частиц диаметром  $26 \pm 9,5 \text{ \AA}$ . На электронных дифрактограммах, снятых с тех же образцов ( $\text{XVI}$ ), имеется 5-6 колец, по расположению близких, но точно

не совпадающих с расположением колец для металлического Pd. Размер ответственных за дифракцию частиц, оцененный по полуширине дифракционных колец, составляет  $\sim 25 \text{ \AA}$ , в согласии с данными электронной микроскопии.

По данным EXAFS для твердого образца ( $\overline{\text{XVI}}$ ) найдено межатомное расстояние Pd-легкий атом (N или O)  $2,1 \pm 0,1 \text{ \AA}$  и 4 кратчайших расстояния Pd-Pd, позволяющих определить характер упаковки атомов Pd в его металлоостове (табл.2).

Таблица 2

Экспериментальные (по данным EXAFS) и ожидаемые для разных упаковок\*) значения кратчайших межатомных расстояний Pd-Pd в металлоостовах ( $\overline{\text{XVI}}$ ) и ( $\overline{\text{XVII}}$ )

Вид данных	Расстояния Pd-Pd, $\text{\AA}$				
EXAFS ( $\overline{\text{XVI}}$ )	$2,60 \pm 0,04$	$3,10 \pm 0,1$	$3,66 \pm 0,1$	$4,08 \pm 0,1$	-
Упаковки**):					
г.ц.к.	2,60	-	3,66	-	-
г.п.	2,60	-	3,66	-	4,50
икосаэдр	2,60	3,10	3,66	4,10	-
EXAFS ( $\overline{\text{XVII}}$ )	$2,82 \pm 0,1$	-	$3,90 \pm 0,1$	-	-
г.ц.к.	2,82	-	3,98	-	-

Полученный набор межатомных расстояний Pd-Pd лучше всего согласуется с моделью кластерного металлоостова ( $\overline{\text{XVI}}$ ), в которой атомы Pd упакованы послойно вокруг центрального атома Pd по типу

\*) Наименьшее из кратчайших расстояний при расчете для всех упаковок принято равным  $2,60 \text{ \AA}$  для ( $\overline{\text{XVI}}$ ) и  $2,82 \text{ \AA}$  для ( $\overline{\text{XVII}}$ ).

\*\*\*) г.ц.к. - гранецентрированная кубическая; г.п. - гексагональная плотнейшая.

икосаэдра (ожидаемое отношение межатомных расстояний для ближайших соседних атомов I:I,2:I,4:I,6).

Кристаллит этого типа из атомов Pd с кратчайшим расстоянием  $2,60 \text{ \AA}$ , имеющий диаметр  $\sim 25 \text{ \AA}$ , должен состоять из 5 икосаэдрических слоев и содержать, в соответствии с формулой для плотноупакованных многогранников с координационным числом  $12 (N_2 = 1/3(10n^3 + 15n^2 + 11n + 9), n = 5)$ , 561 атом, из которых 252 образуют внешний слой. С учетом данных о химическом составе соединению (XVI) отвечает полная (идеализированная в предположении о металлоостове в виде 561-атомного икосаэдра) формула  $\text{Pd}_{561}\text{Phen}_{60}(\text{OCOCN}_3)_{180}$ .

Кластер (XVI) осаждается из водных растворов солями кислородсодержащих и галогеноводородных кислот с полным или частичным замещением анионов  $\text{CH}_3\text{COO}^-$  и сохранением Pd-фенантролиновой части кластера. Взаимодействием (XVI) с  $\text{PF}_6^-$  получен нерастворимый в воде, но обратимо растворяющийся в  $\text{CH}_3\text{CN}$  кластер с идеализированной формулой  $\text{Pd}_{561}\text{Phen}_{80}(\text{PF}_6)_{60}$  (XVII).

Форма металлоостова кластера (XVII), по данным электронной микроскопии, близка к сферической с диаметром ( $28 \pm 5 \text{ \AA}$ ), несколько большим, чем у (XVI). Судя по данным EXAFS (табл.2), атомы Pd расположены в металлоостове (XVII) по типу г.ц.к. решетки. Близкий к сферической форме металлополиэдр в данном случае вероятнее всего представляет собой кубооктаэдр, с поверхностными атомами Pd которого связаны молекулы Phen. Анионы  $\text{PF}_6^-$ , вообще не склонные к координации с атомами переходных металлов, находятся во внешней сфере, о чем свидетельствуют данные  $^{19}\text{F}$  ЯМР-спектра (дублет  $\delta = 71,3 \text{ м.д.}$ ,  $J(\text{P-F}) = 708 \text{ Гц}$ )\*). При образовании (XVII) происходит не только замещение анионов, но также изменяется заряд металло-

\*) Спектр ЯМР  $^{19}\text{F}$  снят С.Г.Сахаровым (ИОНХ АН СССР).

остова и число координированных групп Phen; что указывает на частичное восстановление кластера (вероятно, за счёт диспропорционирования с выделением Pd(II)).

В интервале 77-300К оба кластера (XVI) и (XVII) обладают слабым температурно-независимым парамагнетизмом, величина которого ( $\chi_T^{300} = 1,0 \cdot 10^{-6}$  CGSE) близка к значениям  $\chi_T$  для малых кристаллитов металлического Pd с дисперсностью  $\sim 0,5$ , т.е. с размерами частиц порядка десятков Å.

Рассмотрение молекулярных моделей показывает, что молекулы Phen из-за стерических препятствий, вызываемых атомами Н в положениях 2, могут координироваться только на ребрах и вершинах указанных металлополиэдров; на наружном слое может разместиться 60-80 бидентатно координированных молекул Phen. При этом расположении почти вся поверхность металлоостова стерически экранирована объемистыми лигандами Phen, и расположение ацетатных лигандов наиболее вероятно во внешней сфере кластера (XVI), остов которого таким образом, должен нести положительный заряд (рис.3). Аналогичная стерическая ситуация, с внешнесферным расположением ацетатных

ионов, была обнаружена методом РСА в случае четырехъядерного кластера (VII) (рис.2).

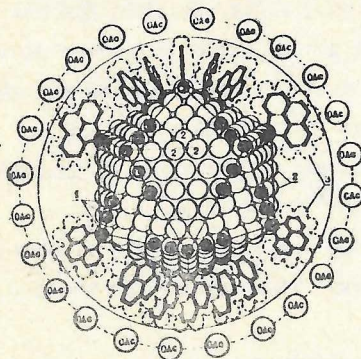


Рис.3. Идеализированная модель кластера (XVI): 1-атомы Pd, связанные с лигандами Phen; 2-атомы Pd, доступные для координации молекул субстратов; 3-координированные молекулы Phen.

Вывод о внешнесферной координации ацетатных групп подтверждается данными ИК-спектров (разность частот  $\nu_{as}(\text{OCO}) - \nu_s(\text{OCO}) = 165 \text{ см}^{-1}$ , как в  $\text{CH}_3\text{COONa}$ ), данными по электропроводности водных растворов (XVI) и спектров ПМР, где протоны групп  $\text{CH}_3\text{COO}$  наблюдается в виде обычного узкого синглета с  $\delta = 2,0$  м.д.

Полученные гигантские кластеры представляют собой по существу промежуточное звено между обычными молекулярными кластерами скелетного типа, например, недавно охарактеризованными методом PCA кластерами  $\text{Pd}_{28}(\text{CO})_{22}(\text{PEt}_3)_{10}$  и  $\text{Pd}_{38}(\text{CO})_{28}(\text{PEt}_3)_{12}$  (Mednikov E.G., Eremenko N.K., Slovokhotov Yu.L., Struchkov Yu.T. - J.Organomet.Chem. 1986, v. 301, p. C35-C37; Стручков Ю.Т. - Тез. докл. VI Европ. конфер. по металлоорг. хим., Рига, 1985, с. 10) и коллоидными металлами, а металлоостов (XVI) и (XVII) близок к малым кристаллитам, образующимся при формировании активной поверхности гетерогенных металлических катализаторов или в процессе роста островковых металлических пленок.

В отличие от типичных частиц коллоидных металлов и малых кристаллитов, для кластеров (XVI) и (XVII) характерно довольно узкое распределение по размеру металлоостова, что делает их привлекательными не только для целей каталитической химии, но и для приготовления различных материалов на их основе (пленок, дисперсных порошков и т.п.).

Наши опыты показали, что в кластерах такого типа приводит синтез и в ряде других растворителей, например, в метаноле или ацетонитриле, а варьирование концентраций исходной соли  $\text{Pd(II)}$  и соотношения  $[\text{L}]_x / [\text{Pd}]_z$  в интервале от 1:1 до 1:10 позволяет получать кластеры различного размера с диаметром металлоостова  $d$  от 8-10 до 50 Å. Как показывают данные электронной микроскопии, для всех этих образцов сохраняется довольно узкое распределение по

размеру ( $\sigma = \pm 20-25\% d$ ).

#### IV. Каталитическая активность кластеров палладия

##### I. Окислительные превращения органических соединений в присутствии кластеров палладия

Полиядерные гидридокомплексы типа (XIII), как показали наши опыты, проявляют каталитическую активность в гидрировании непредельных соединений, димеризации этилена и пропилена, а также позиционной изомеризации алкенов (табл.3).

Таблица 3

Начальные скорости реакций, катализируемых гидридокомплексом (XIII) (среда  $\text{CH}_3\text{COOH}$ ,  $20^\circ$ , I атм)

Реакция	Реагент $\rightarrow$ продукт	$W$ , $\frac{\text{моль}}{\text{ат.Рд.ч}}$
Гидрирование	Этилен $\rightarrow$ этан	15
"	стирол $\rightarrow$ этилбензол	7
"	пропилен $\rightarrow$ пропан	12
"	винилацетат $\rightarrow$ этилацетат	10
Димеризация	этилен $\rightarrow$ бутены	5
"	пропилен $\rightarrow$ гексены	0,8
Изомеризация	бутен $\rightarrow$ смесь н-бутенов	10

Эти реакции типичны для гидридокомплексов переходных металлов. Все указанные реакции ингибируются кислородом, под действием которого (XIII) превращается в гигантский кластер (XVI), который, как показали наши опыты, эффективно катализирует окисление олефинов, алкиларенов, CO и алифатических спиртов, а также окислительно-восстановительные превращения альдегидов и их ацетализацию. В отличие от систем на основе карбонильных кластеров, каталитическая активность (XVI), его *Piry*-аналога и (XVII) характеризуется большей стабильностью (табл.4).

Окислительное ацетоксилирование олефинов и толуола в растворах кластеров (XVI)-(XVII) протекает селективно с образованием

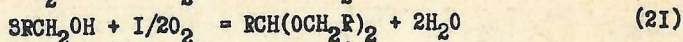
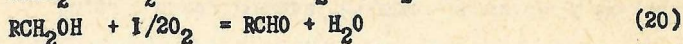
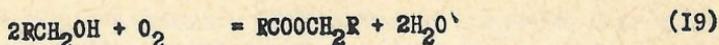
Таблица 4

Каталитическая активность и стабильность металлокластерных катализаторов в окислении олефинов, алкиларенов и спиртов

Катализатор или исходн. в-во, растворитель	Окисляемый субстрат	Т-ра, °C	Индукц. период, мин.	Скорость W, моль ат.Рд.ч	Снижение скорости за 2 ч, %
(I) + Ph <sub>2</sub> CH CH <sub>3</sub> COOH	пропилен	60	60	1,5	30
" "	толуол	90	40	2,7	25
(XVI) CH <sub>3</sub> COOH	этилен	60	-	2,5	8
" "	пропилен	60	-	1,6	7
(XVII) CH <sub>3</sub> CN + CH <sub>3</sub> COOH	этилен	60	-	3,2	2
" "	пропилен	60	-	2,0	3
(XVIII) CH <sub>3</sub> OH	метанол	40	-	5,0	< 0,01%

95-99% винил-, аллил- или бензилацетата на прореагировавший углеводород. Единственное побочное превращение, которое наблюдается на этих катализаторах - дальнейшее окисление алкениловых или бензиловых эфиров, по мере их накопления, до этилиден-, аллилиден- или бензилидендиацетатов соответственно. Однако по сравнению с металлическими Pd-катализаторами, активность которых проявляется при значительно более высоких температурах, кластеры (XVI)-(XVIII) в меньшей степени благоприятствуют этим побочным превращениям, и при проведении реакции в проточной системе при 80-90° удается достичь, например, при окислении пропилена селективности по аллилацетату не менее 99% при содержании в контактном растворе до 15% аллилацетата.

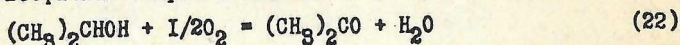
В присутствии кластеров (XVI) и (XVIII) при 20-60° нами обнаружено также окисление молекулярным O<sub>2</sub> первичных алифатических спиртов:



При окислении метанола протекает только реакция (19) с высокой скоростью и селективностью не ниже 95-97% (табл.4).

В случае этанола и его гомологов наряду со сложным эфиром образуются также альдегид и ацеталь, причём введенный в систему альдегид также способен превращаться в сложный эфир и ацеталь.

Вторичные спирты окисляются в кетоны:



Кроме реакций (19)-(22) в растворах спиртов в отсутствие  $O_2$  при  $60^\circ$  наблюдается катализируемое кластерами (XVI) и (XVII) окислительно-восстановительное диспропорционирование альдегидов



( $R = CH_3, C_2H_5, C_3H_7$ ) в соответствующие сложные эфиры аналогично реакции Тищенко.

Способность кластеров (XVI)-(XVII) катализировать разнообразные окислительно-восстановительные реакции, в том числе требующие обычно для своего осуществления сильных кислот или оснований, например реакция (23), свидетельствует о разнообразии каталитических возможностей гигантских кластеров палладия.

## 2. Кинетика и механизм окислительного ацетоксилирования непредельных углеводов

С целью выяснения механизма действия кластерных катализаторов была изучена кинетика окислительного ацетоксилирования этилена и пропилена в растворах кластеров (XVI) и (XVII) в проточном по газу реакторе при 1 атм в интервале  $40-90^\circ$  с перемешиванием, обеспечивавшем протекание реакции в кинетическом режиме. Текущие концентрации продуктов определяли методом ГХ.

Зависимость скорости реакции от концентрации реагентов и катализатора для  $C_2H_4$  и  $C_3H_6$  в растворах (XVI) (в среде  $CH_3COOH$ -диглим) и (XVII) (в среде  $CH_3COOH-CH_3CN$ ) описывается кинетическим уравнением:

$$W = k [K_A] \frac{[C_nH_{2n}]}{K_I + [C_nH_{2n}]} \cdot \frac{[O_2]}{K_{II} + [O_2]} \cdot \frac{[CH_3COOH]}{K_{III} + [CH_3COOH]} \quad (24)$$

Таблица 5

Константы кинетического уравнения (24) при  $60^\circ$

Субстрат	Клас-тер	$k, \text{мин}^{-1}$	$K_I \cdot 10^8, \text{мол.л}^{-1}$	$K_{II} \cdot 10^4, \text{моль.л}^{-1}$	$K_{III}, \text{моль.л}^{-1}$
Этилен	(XVII)	$8,2 \pm 0,7$	$5,8 \pm 0,8$	$3,0 \pm 0,2$	$1,3 \pm 0,1$
Пропилен	(XVI)	$5,6 \pm 0,5$	$\leq 0,01$	$1,2 \pm 0,1$	$4,8 \pm 0,5$
Пропилен	(XVII)	$8,8 \pm 0,8$	$\leq 0,01$	$5,2 \pm 0,8$	$0,67 \pm 0,05$

Характер уравнения (24) позволяет предположить, что окислительно-восстановительным превращениям реагентов предшествует их обратимая координация кластером, причём пропилен координируется значительно слабее этилена,  $O_2$  и  $CH_3COOH$ .

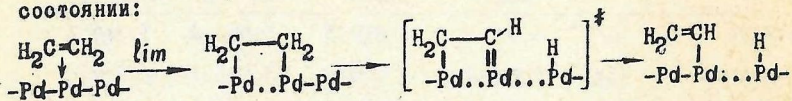
Полученные значения кинетических изотопных эффектов (КИЭ) (табл.6) указывают на сходный характер превращений пропилена на обоих кластерах и различия в механизме реакций этилена и пропилена в присутствии кластера (XVII).

Таблица 6

Субстрат	Клас-тер	$k_{C_nH_{2n}}/k_{C_nD_{2n}}$	$k_{CH_3COOH}/k_{C_2D_5COOH}$	$k_{CH_3COOH}/k_{CH_3C_18O_2}$
Этилен	(XVII)	$1,1 \pm 0,1$	$1,1 \pm 0,1$	-
Пропилен	(XVI)	$2,2 \pm 0,2$	$1,0 \pm 0,05$	$1,0 \pm 0,05$
Пропилен	(XVII)	$3,6 \pm 0,2$	$1,0 \pm 0,05$	$1,0 \pm 0,05$

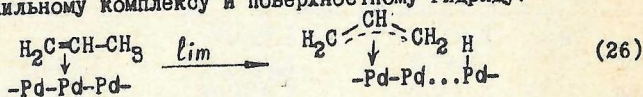
Эти различия можно связать в первую очередь с тем, что связь C-H в молекуле этилена на  $\sim 20$  ккал/моль прочнее связи C-H в группе  $CH_3$  молекулы пропилена ( $\bar{D}(R-H) = 105$  и  $85$  ккал/моль соответственно). Наименее прочна в этилене  $\pi$ -связь C=C ( $\sim 60$  ккал/моль).

Данные КИЭ согласуются с тем, что перенос атомов Н от координированных молекул  $C_2H_4$  и  $CH_3COOH$  происходит в быстрых, последовательно протекающих стадиях. Диссоциация связи винил-Н может быть заметно облегчена, если  $\pi$ -координированная молекула  $C_2H_4$  окислительно присоединится (с раскрытием  $\pi$ -связи C=C) к группировке Pd-Pd кластера с образованием  $\sigma, \sigma$ -координированной группы  $..Pd-CH_2CH_2-Pd...$ , в которой последующему разрыву связи C-H способствует возможность образования кратной связи Pd=C в переходном состоянии:



Промежуточное образование  $\sigma$ -связанных палладийорганических соединений  $X-Pd-CH_2CH_2OR$  было установлено нами ранее в реакциях окисления этилена солями Pd(II). В данном случае в реакции участвуют атомы Pd кластерного металлоостова в степени окисления, близкой к нулю; в результате образования  $\sigma, \sigma$ -комплекса каждый из этих атомов повышает свою формальную степень окисления на единицу, а после завершения каталитического процесса окисления олефина возвращается в исходное окислительное состояние.

В случае пропилена с этим направлением конкурирует внедрение по связи Pd-Pd кластера с разрывом связи аллил-Н, приводящее к  $\pi$ -аллильному комплексу и поверхностному гидриду:



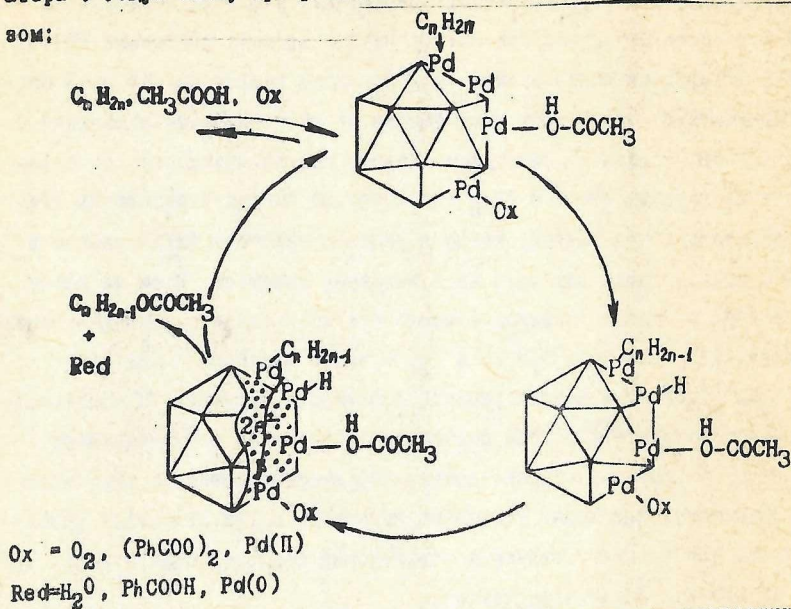
Благодаря выигрышу энергии при образовании аллильной группировки по сравнению с винильной в конкуренции между двумя возможными направлениями окисления пропилена - по схеме (25) или (26) выигрывает последняя, и окислительное ацетоксилирование пропилена на кластерах (XVI)-(XVII) идет только в аллильном направлении.

Последующие превращения координированных винильной или аллильной группировок и атомов Н на поверхности кластерного металлоостова, по-видимому, протекают быстро и не отражаются на скорости реакций.

Как в идеализированной структуре (рис.3), так и в реальных кластерах, в которых возможны "дефектные" участки, поверхность кластерного металлоостова сильно экранирована лигандами *Phen*, что затрудняет атаку атомов Pd молекулами реагентов. Об этом свидетельствуют полученные нами данные по ингибированию окисления олефинов различными лигандами. Хорошо координирующиеся, но объёмистые лиганды *Phen* и  $PPh_3$  не влияют на скорость окисления этилена даже в том случае, когда в раствор кластера ( $\overline{XUP}$ ) вводят до 800 молекул этих лигандов на I молекулу кластера. В то же время реакции окисления этилена и пропилена эффективно тормозятся менее крупными молекулами  $C_2H_5SH$  и  $I_2$ , а также анионами  $SCN^-$  и  $(C_2H_5)_2NCS_2^-$  при концентрациях, соизмеримых с молярной концентрацией кластера ( $\overline{XUP}$ ). Для полного ингибирования окислительного ацетоксилирования этилена достаточно координировать с кластером  $\sim 50$  молекул или ионов указанных лигандов, а при окислении пропилена, для которого значение стерических факторов выше - лишь  $\sim 15$  молекул лиганда-ингибитора.

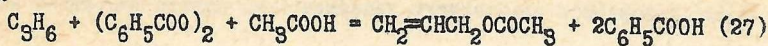
Таким образом, при окислении этилена для молекул реагентов доступна  $\sim 1/5$  часть поверхностных атомов Pd, а при окислении пропилена - около 6% от числа этих атомов. Маловероятно, что при окислительно-восстановительных превращениях реагентов на стерически заслоненной поверхности кластерного металлоостова все три молекулы -  $O_2$ , олефина и  $CH_3COOH$  - координируются на соседних атомах Pd одного участка кластера. По-видимому, больше оснований считать, что молекула  $C_2H_4$  или  $C_3H_6$  связывается с одним участком

кластера, а молекула  $O_2$  - на другом, на соседнем с ним, и перенос электронов от фрагментов Pd-алкенил или Pd-H к координированной молекуле  $O_2$  осуществляется через металлоостов кластера, выполняющий, по терминологии К.Б.Яцимирского, функцию "электронного медиатора". Общую схему превращений можно представить следующим образом:



В качестве акцептора электронов в кластерных каталитических системах может выступать не только  $O_2$ , но и соль  $Pd(II)$ , за счёт которых пропилен окисляется в аллилацетат при стехиометрической реакции  $C_3H_6$  с  $Pd(OCOCH_3)_2$  в среде  $CH_3COOH$ ; роль кластера в этом случае выполняют частицы дисперсного металлического Pd, образующиеся в начальный период реакции. В присутствии кластеров (XVI) и (XVII) в качестве акцептора электронов служит также пероксид бензола. Наши опыты показали, что в растворе  $CH_3COOH$ , содержащем гигантский кластер, с селективностью по аллилацетату 98-100% при 20°

и стационарной концентрации пероксида  $10^{-3}$ - $10^{-4}$ М протекает реакция



Хотя внешне эта реакция выглядит как перекисное окисление, она протекает, по-видимому, по тому же механизму, что и окисление кислородом или Pd(II) на кластерах, в отсутствие которых реакция (27) в указанных условиях не идет.

Кластерный катализатор открывает новый канал окислительного ацетоксилирования этилена, первоначально осуществленного (реакция (14)) с помощью комплексов Pd(II). Об этом свидетельствует помимо изложенных кинетических данных также нечувствительность реакции, катализируемой кластерами (XVI)-(XVII), к концентрациям ацетатов щелочных металлов и воды. В случае кластерных катализаторов присутствие даже 10%  $H_2O$  практически не изменяет скорости реакции и ее селективности по винилацетату.

Гигантские кластеры - удобная модель для изучения природн активных центров и механизма действия гетерогенных металлических катализаторов. Кластеры (XVI), (XVII) и их аналоги могут быть легко иммобилизованы на поверхности ионообменных смол или оксидных носителей путём замещения части внешнесферных анионов кластера на анионные группировки носителя.

В гомогенных условиях эти кластеры обладают высокой селективностью (95-99%) и приемлемой каталитической активностью (80-200 г/д.ч) в парциальном окислении органических соединений при мягких условиях (40-90°, 1 атм), что делает перспективным и экономически выгодным их использование, например, для окисления метанола в метилформиат - полупродукт в производстве муравьиной кислоты - на предприятиях, не располагающих оксидом углерода. Согласно техникоэкономической оценке, выполненной Бориславским филиалом

Госниихлорпроект'а, себестоимость муравьиной кислоты, получаемой с использованием кластерного катализатора, должна снизиться на 85 руб/т.

### ВЫВОДЫ

1. С целью поиска методов синтеза полиядерных соединений палладия со связями металл-металл, активных в катализе окислительных реакций, исследовано взаимодействие комплексов Pd(II) с CO, H<sub>2</sub> и другими восстановителями; изучен механизм реакций с участием CO, приводящих к формированию кластерного металлоостова; синтезировано и охарактеризовано 24 кластерных комплекса палладия, исследованы их химические свойства и каталитическая активность в окислительно-восстановительных реакциях олефинов, алкиларенов, CO, алифатических спиртов и альдегидов; найдены высокоселективные кластерные катализаторы окислительного ацетоксилирования олефинов в алкениловые эфиры и алкиларенов в бензиловые эфиры; изучены кинетика и механизм окисления олефинов молекулярным O<sub>2</sub> в присутствии кластерных катализаторов.

2. Впервые осуществлено восстановление ацетата Pd(II) оксидом углерода в уксусной кислоте до металлического палладия и уксусного ангидрида. Установлено, что механизм этой реакции включает промежуточное образование ацильных производных палладия, превращающихся в карбонильные соединения Pd(I). На основе этих данных предложен метод синтеза и впервые получены карбонилкарбоксилаты Pd(I) общей формулы  $[Pd(CO)(OCOR)]_4 \cdot n RCOOH$  (C<sub>6</sub>H<sub>6</sub>) (R = CH<sub>3</sub>, C<sub>2</sub>H<sub>5</sub>, C<sub>6</sub>H<sub>5</sub>, CF<sub>3</sub>, CCl<sub>3</sub>, CH<sub>2</sub>Cl, n = 0, 1/2, 2), представляющие собой, по данным рентгеноструктурного анализа, четырехъядерные кластеры с прямоугольным металлоостовом.

3. Предложен метод синтеза и впервые получены катионные карбонильные кластеры Pd(I) общей формулы  $[Pd_4(CO)_2L_4]X_4$  (L = Phen,

$\text{Dipy}$ ,  $X = \text{CH}_3\text{COO}$ ,  $\text{CF}_3\text{COO}$ ,  $\text{CCl}_3\text{COO}$ ,  $\text{Cl}$ ,  $\text{SCN}$ ,  $\text{ClO}_4$ ,  $\text{HSO}_4$ ), содержащие, по данным рентгеноструктурного анализа, тетраэдрический металлоостов, а также полиядерные карбонилгидриды общей формулы  $[\text{Pd}_4 \text{Phen}_3 (\text{CO})_3 \text{H}_2 \text{X}_3]_m$  ( $X = \text{CH}_3\text{COO}$ ,  $\text{C}_2\text{H}_5\text{COO}$ , трет. $\text{C}_4\text{H}_9\text{COO}$ ,  $\text{CF}_3\text{COO}$ ,  $\text{PF}_6$ ,  $\text{ClO}_4$ ,  $\text{BPh}_4$ ).

4. На основе карбонилкарбоксилатных кластеров  $\text{Pd}(\text{I})$  и  $\text{Phen}$  или  $\text{Dipy}$  получена каталитическая система, позволяющая осуществлять в мягких условиях ( $60\text{--}100^\circ$ , I атм) окисление пропилена в аллилацетат и толуола в бензилацетат с селективностью 92–95%.

5. Восстановлением ацетата  $\text{Pd}(\text{II})$  водородом в присутствии  $L = \text{Phen}$  или  $\text{Dipy}$  впервые получены полиядерные гидридокомплексы палладия  $[\text{Pd}_4 L (\text{O}(\text{COCH}_3)_2 \text{H}_4)]_n$  ( $n \approx 100$ ), проявляющие каталитическую активность в гидрировании, димеризации и позиционной изомеризации нижних олефинов.

6. Впервые синтезированы и охарактеризованы гигантские катионные кластеры палладия с идеализированными формулами  $\text{Pd}_{561} L_{60} (\text{O}(\text{COCH}_3)_2)_{180}$  и  $\text{Pd}_{561} \text{Phen}_{80} (\text{PF}_6)_{60}$ , на поверхности массивного плотно-упакованного металлоостова которых координированы лиганды  $L = \text{Phen}$ ,  $\text{Dipy}$ , а анионы  $\text{O}(\text{COCH}_3)_2^-$  или  $\text{PF}_6^-$  расположены во внешней сфере. Выводы о строении кластеров основываются на данных электронной микроскопии высокого разрешения, EXAFS, ЯМР и магнитной восприимчивости.

7. Установлено, что гигантские кластеры палладия эффективно катализируют в мягких условиях ( $20\text{--}90^\circ$ , I атм) окислительное ацетоксилирование этилена в винилацетат, пропилена в аллилацетат, толуола в бензилацетат, окисление  $\text{CO}$  в  $\text{CO}_2$ , алифатических спиртов в сложные эфиры, кислотная и спиртовая компоненты которых сохраняют углеродный скелет исходного спирта, а также ацетализацию альдегидов и их окислительно-восстановительное диспропорционирование по типу реакции Тифенко. На основе этих данных разработан новый под-

ход к созданию металлокомплексных катализаторов высокоселективного низкотемпературного окисления органических соединений.

8. Впервые предложен гомогенный катализатор окисления метанола кислородом на основе кластеров палладия, позволяющий получать с селективностью 95–97% метилформиат – ключевой полупродукт в производстве муравьиной кислоты.

9. Имобилизацией гигантских кластеров на носителях получены гетерогенные катализаторы, которые могут быть использованы для дожига CO в отходящих газах при малых содержаниях ( $\leq 3\%$ ) CO и больших ( $4 \cdot 10^3 \text{ г}^{-1}$ ) скоростях газового потока.

10. Предложен метод получения дисперсных палладиевых систем, основанный на синтезе растворимых в полярных средах кластеров с металлоостовом заданного диаметра  $\bar{d}$  от 10 до 50 Å и узким ( $G = \pm 0,25 \bar{d}$ ) распределением по размеру.

11. Установлено, что скорость окислительного ацетоксилирования олефинов в растворах кластеров палладия имеет первый порядок по концентрации кластера и описывается зависимостью Михаэлисовского типа по концентрациям олефина,  $O_2$  и  $CH_3COOH$ . Эти данные, а также найденные значения изотопных кинетических эффектов при замене атомов H на D в молекулах алкена и  $CH_3COOH$  интерпретированы в рамках механизма, включающего координацию реагентов кластером, окислительное присоединение алкена по связи Pd-Pd (этилен с образованием  $\sigma, \sigma$ -связанной группировки  $-Pd-CH_2CH_2-Pd-$  и последующий разрыв связи C-H, в случае пропилена присоединение аллил-H по связи Pd-Pd) и перенос пары электронов через металлоостов кластера от фрагментов Pd-H и Pd-C<sub>n</sub>H<sub>2n-1</sub> (C<sub>n</sub>H<sub>2n-1</sub> = винил- или аллил) к координированной молекуле окислителя ( $O_2$ , пероксид, Pd(II)).

Основное содержание работы отражено в следующих публикациях:

1. Моисеев И.И., Варгафтик М.Н., Сыркин Я.К. Кинетические стадии окисления этилена хлористым палладием в водных растворах. - Докл.АН СССР, 1963, т.153, № 1, с.140-143.
2. Моисеев И.И., Варгафтик М.Н., Сыркин Я.К. Новый  $\pi$ -аллильный комплекс палладия. - Изв.АН СССР. Сер.хим., 1964, № 4, с.775.
3. Моисеев И.И., Варгафтик М.Н., Сыркин Я.К.  $\pi$ -Комплекс палладия с трифенилциклопропилом. - Изв.АН СССР. Сер.хим., 1964, № 4, с.775-776.
4. Моисеев И.И., Варгафтик М.Н. Ионы карбония в реакциях окисления олефинов хлористым палладием. - Изв.АН СССР, Сер.хим., 1965, № 4, с.759.
5. Моисеев И.И., Варгафтик М.Н. Палладийорганические соединения в реакциях окисления олефинов. - Докл.АН СССР, 1966, т.166, № 2, с.370-373.
6. Моисеев И.И., Варгафтик М.Н., Пестриков С.В., Леванда О.Г., Романова Т.Н., Сыркин Я.К. Кинетика окисления низших олефинов хлористым палладием в водных растворах. - Докл.АН СССР, 1966, т.171, № 6, с.1365-1368.
7. Зайцев Л.М., Белов А.П., Варгафтик М.Н., Моисеев И.И. Термическое разложение  $\pi$ -аллильных комплексов палладия. - Журн. неорганической химии, 1967, т.12, № 2, с.396-401.
8. Захарова Л.М., Варгафтик М.Н., Моисеев И.И., Кацман Л.А. Особенности кинетики окисления стирола хлористым палладием в водных растворах. - Кинетика и катализ, 1969, т.10, № 4, с.901-903.
9. Захарова Л.М., Варгафтик М.Н., Моисеев И.И., Кацман Л.А. Избирательность окисления стирола хлористым палладием в воде. - Изв.АН СССР. Сер.хим., 1970, № 3, с.700-702.
10. Кацман Л.А., Варгафтик М.Н., Белов А.П., Сыркин Я.К. О состоянии  $\pi$ -аллилпалладийхлорида в водных растворах. - Изв. АН СССР. Сер.хим., 1971, № 5, с.1091-1093.
11. Кацман Л.А., Варгафтик М.Н., Сыркин Я.К. Термодинамика взаимных превращений  $\pi$ -аллильных комплексов палладия в водном растворе. - Изв.АН СССР, Сер.хим., 1972, № 6, с.1424-1425.
12. Варгафтик М.Н., Игошин В.А., Сыркин Я.К. Кинетика акватации тетрахлор- и тетрабромпалладоат-анионов. - Изв.АН СССР. Сер.хим., 1972, № 6, с.1426-1428.

13. Варгафтик М.Н., Герман Э.Д., Догонадзе Р.Р., Сыркин Я.К. Кинетика и равновесие комплексообразования акваиона палладия (II) с ароматическими аминами в водном растворе. - Докл.АН СССР, 1972, т.206, № 2, с.970-973.

14. Нефедов В.И., Захарова И.А., Моисеев И.И., Порай-Кошиц М.А., Варгафтик М.Н., Белов А.П. Исследование комплексных соединений палладия методом рентгеноэлектронной спектроскопии. - Журн.неорганической химии, 1973, т.18, № 12, с.3264-3268.

15. Moiseev I.I., Vargaftik M.N., Levanda O.G. Kinetics of olefin oxidation by tetrachloropalladate in aqueous solution. - J. Amer. Chem. Soc., 1974, v.96, № 4, p. 1003-1007.

16. Варгафтик М.Н., Герман Э.Д., Догонадзе Р.Р., Кузнецов А.М., Моисеев И.И. Влияние стерического взаимодействия между лигандами на направление реакций замещения в октаэдрических комплексах. - Координационная химия, 1977, т.3, № 5, с.630-637.

17. Moiseev I.I., Vargaftik M.N., Dogonadze R.R., German E.D., Kuznetsov A.M., Steric effects in reactions of metal complexes. The ligand substitution processes. - J. Coordination Chem., 1977, v.6, p.141-149.

18. Моисеев И.И., Варгафтик М.Н., Калечиц И.В., Жаворонков Н.М., Гентош О.И., Павдерский Ю.А., Стромнова Т.А., Шербакова Л.С. Окисление окиси углерода в уксусной кислоте. - Докл.АН СССР, 1977, т.237, № 3, с.645-647.

19. Моисеев И.И., Варгафтик М.Н., Калечиц И.В., Стромнова Т.А., Гентош О.И., Павдерский Ю.А. Восстановление солей палладия окисью углерода в уксусной кислоте. - Изв.АН СССР. Сер.хим., 1977, № II, с.2835-2838.

20. Стромнова Т.А., Варгафтик М.Н., Мазо Г.Я., Салынь Я.В., Нефедов В.И., Моисеев И.И. Новый карбонильный комплекс палладия. - Изв.АН СССР. Сер.хим., 1977, № 5, с.1205-1206.

21. Стромнова Т.А., Кузьмина Л.Г., Варгафтик М.Н., Мазо Г.Я., Стручков Ю.Т., Моисеев И.И. Синтез и структура четырехъядерных карбонильных кластеров палладия. - Изв.АН СССР. Сер.хим., 1978, № 3, с.720-722.

22. Moiseev I.I., Stromnova T.A., Vargaftik M.N., Mazo G.Ya., Kuz'mina L.G., Struchkov Yu.T. - New palladium carbonyl clusters: X-ray crystal structure of  $\text{Pd}_4(\text{CO})_4(\text{OAc})_4(\text{AcOH})_2$ . - J. Chem. Soc., Chem. Comm., 1978, №1, p.27-28.

23. Политанский С.Ф., Варгафтик М.Н., Шкитов А.М., Столяров И.П., Моисеев И.И., Нефедов О.М. Роль жидкой фазы при ацетоксилировании олефинов на нанесенных палладиевых катализаторах. - Изв.АН СССР. Мер.хим., 1978, № 8, с.1913-1914.

24. Старчевский М.К., Варгафтик М.Н., Моисеев И.И. Реакции ароматических соединений с трифторацетатом палладия. - Изв.АН СССР, Сер.хим., 1979, № I, с.242-244.

25. Старчевский М.К., Варгафтик М.Н., Моисеев И.И. О природе активных центров палладиевых катализаторов окислительного ацетоксилирования толуола. - Кинетика и катализ, 1979, т.20, № 5, с.1163-1169.

26. Старчевский М.К., Варгафтик М.Н., Моисеев И.И. Изотопный обмен группы  $\text{CH}_3$  толуола с  $\text{CH}_3\text{COOD}$  в присутствии Pd-катализатора окислительного ацетоксилирования толуола. - Изв.АН СССР. Сер.хим., 1979, № 12, с.2839-2840.

27. Анцишкина А.С., Гольжникова О.И., Варгафтик М.Н., Садинов Г.Г., Острикова В.Н., Сальни Я.В., Порай-Кошиц М.А., Моисеев И.И. Синтез и структура диацетато-бис-( $\eta^2$ -стирол)дипалладия. - Координационная химия, 1980, т.6, № 7, с.1115-1121.

28. Старчевский М.К., Варгафтик М.Н., Моисеев И.И. Комплексы Pd(I) и Pd(II) в катализе окислительного ацетоксилирования толуола в бензилацетат. - Кинетика и катализ, 1980, т.21, № 6, с.1451-1457.

29. Варгафтик М.Н., Стромнова Т.А., Ходашова Т.С., Порай-Кошиц М.А., Моисеев И.И. Синтез и структура тетраэдрического карбонильного кластера палладия. - Изв.АН СССР. Сер.хим., 1980, № 7, с.1690-1691.

30. Варгафтик М.Н., Стромнова Т.А., Моисеев И.И. Карбонильные комплексы палладия. - Журн.неорганической химии, 1980, т.25, с.236-251.

31. Стромнова Т.А., Варгафтик М.Н. Синтез и реакции комплексов Pd(I) с ароматическими N- и P-лигандами. - Изв.АН СССР, Сер.хим., 1980, № 6, с.1411-1413.

32. Стромнова Т.А., Варгафтик М.Н. Окислительное алкоксилирование олефинов в присутствии комплексов палладия в низших степенях окисления. - Изв.АН СССР. Сер.хим., 1980, № 2, с.478.

33. Старчевский М.К., Варгафтик М.Н., Нефедов О.М., Моисеев И.И. Карбеновые комплексы в окислительном ацетоксилировании толуола на Pd-фенантролиновых катализаторах. - Изв.АН СССР. Сер. хим., 1980, № 10, с.2427.
34. Старчевский М.К., Варгафтик М.Н., Моисеев И.И. Кинетика и механизм окислительного ацетоксилирования толуола в бензилацетат. - Кинетика и катализ. 1981, т.22, с.622-626.
35. Кацман Л.А., Варгафтик М.Н., Старчевский М.К., Григорьев А.А., Моисеев И.И. Природа индукционного периода окислительного ацетоксилирования толуола на Pd-фенантролиновых катализаторах. Кинетика и катализ, 1981, т.22, № 4, с.957-960.
36. Варгафтик М.Н., Загородников В.П., Моисеев И.И. Кластеры палладия в окислительном ацетоксилировании этилена. - Кинетика и катализ, 1981, т.22, № 4, с.951-955.
37. Варгафтик М.Н., Стромнова Т.А., Ходашова Т.С., Порай-Кошиц М.А., Моисеев И.И. Синтез и структура кристаллов кластера  $Pd_4(CO)_2Phen_4(OAc)_4$ . - Координационная химия, 1981, т.7, № 1, с.132-140.
38. Столяров И.П., Варгафтик М.Н., Нефедов О.М., Моисеев И.И. Роль нульвалентного палладия в каталитическом синтезе аллилацетата из пропилена и уксусной кислоты. - Кинетика и катализ, 1982, т.23, № 2, с.376-381.
39. Варгафтик М.Н., Стромнова Т.А., Мазо Г.Я., Моисеев И.И. Взаимодействие окиси углерода с карбоксилатами Pd(II) в неводных средах. - Изв.АН СССР. Сер.хим., 1982, № 6, с.1254-1258.
40. Стромнова Т.А., Варгафтик М.Н., Моисеев И.И. Кинетика восстановительного распада кластера палладия (I) под действием ацетата натрия. - Изв.АН СССР. Сер.хим., 1983, № 1, с.31-35.
41. Салынь Я.В., Старчевский М.К., Столяров И.П., Варгафтик М.Н., Нефедов В.И., Моисеев И.И. Рентгеноэлектронные спектры палладиевых катализаторов окислительного ацетоксилирования олефинов и ароматических углеводородов. - Кинетика и катализ, 1983, т.24, № 3, с.743-746.
42. Stromnova T.A., Vargaftik M.N., Moiseev I.I. Mechanism of reaction of palladium (II) carboxylates with carbon monoxide in nonaqueous media. - J.Organomet.Chem., 1983, v.252, №1, p.113-120.

43. Варгафтик М.Н., Загородников В.П., Моисеев И.И. Новые фенантролинсодержащие кластеры палладия. - Изв.АН СССР. Сер.хим., 1983, № 5, с.1209.

44. Столяров И.П., Варгафтик М.Н., Нефедов О.М., Моисеев И.И. Окисление пропилена пероксидом бензоила в аллилацетат, катализируемое кластером палладия и Pd-чернью. - Изв.АН СССР. Сер.хим., 1983, № 6, с.1455-1456.

45. Варгафтик М.Н. Окислительное ацетоксилирование непредельных углеводов на кластерных палладиевых катализаторах. - В кн.: Химическая связь и строение молекул. М.: Наука, 1984, с.263-274.

46. Загородников В.П., Ходашова Т.С., Варгафтик М.Н., Моисеев И.И., Порай-Кошиц М.А. Распад кластера палладия под действием электрофильных реагентов. Кристаллическая структура фенантролиновых комплексов Pd(II). - Координационная химия, 1985, т.II, № I, с.95-102.

47. Vargaftik M.N., Zagorodnikov V.P., Stolyarov I.P., Moiseev I.I., Likholobov V.A., Kochubev D.I., Chuvilin A.L., Zaikovskiy V.I., Zamaraev K.I., Timofeeva G.I. A novel giant palladium cluster. - J.Chem.Soc., Chem.Comm., 1985, №14, p.937-939.

48. Варгафтик М.Н., Загородников В.П., Столяров И.П., Лихолобов В.А., Чувиллин А.Л., Зайковский В.И., Кочубей Д.И., Тимофеева Г.И., Замараев К.И., Моисеев И.И. Строение кластера палладия - катализатора окислительного ацетоксилирования олефинов. - Докл.АН СССР, 1985, т.284, № 4, с.896-899.

49. Варгафтик М.Н., Загородников В.П., Столяров И.П., Кочубей Д.И., Некипелов В.М., Мстихин В.М., Чинаков В.Д., Замараев К.И., Моисеев И.И. Образование гидридных комплексов палладия при восстановлении Pd(+2) водородом. - Изв.АН СССР. Сер.хим., 1985, № 10, с.2381-2384.

50. Загородников В.П., Варгафтик М.Н. Реакции алифатических альдегидов и спиртов, катализируемые гигантским кластером палладия. - Изв.АН СССР. Сер.хим., 1985, № II, с.2652.

51. Загородников В.П., Варгафтик М.Н., Кочубей Д.И., Чувиллин А.Л., Сахаров С.Г., Майфат М.А. Гигантский кластер палладия с гранецентрированной кубической решеткой металлоостова. - Изв.АН СССР. Сер.хим., 1986, № I, с.253.

52. Столяров И.П., Стромнова Т.А., Загородников В.П., Варгафтик М.Н., Зинченко С.В., Хуторянский В.А., Шмидт Ф.К., Моисеев И.И. Карбонилгидридные комплексы палладия. - Изв.АН СССР, Сер.хим., 1986, № 4, с.942-945.

53. Загородников В.П., Варгафтик М.Н. Кинетика и механизм окислительного ацетоксилирования этилена в винилацетат в растворах гигантского кластера палладия. - Кинетика и катализ, 1986, т.27, № 4, с.851-855.

54. А.С. 614088 (СССР). Способ получения ангидридов алифатических карбоновых кислот (Моисеев И.И., Жаворонков Н.М., Ген - тош О.И., Паздерский Ю.А., Агроскин И.И., Варгафтик М.Н., Калечиц И.В.) Опубл. в Б.И., 1978, № 25.

55. А.С. 616263 (СССР). Способ получения ангидридов алифатических карбоновых кислот (Моисеев И.И., Жаворонков Н.М., Ген - тош О.И., Паздерский Ю.А., Агроскин И.И., Варгафтик М.Н., Калечиц И.В.) Опубл. в Б.И., 1978, № 27.

56. А.С. 768149 (СССР). Способ получения бензилхлорида (Старчевский М.К., Варгафтик М.Н., Моисеев И.И., Паздерский Ю.А.) - не подлежит опубликованию в открытой печати.

57. А.С. 809686 (СССР). Катализатор для получения эфиров карбоновых кислот и ароматических спиртов (Старчевский М.К., Варгафтик М.Н., Моисеев И.И., Паздерский Ю.А.) - не подлежит опубликованию в открытой печати.

58. А.С. 1014204 (СССР). Способ получения аллилхлорида (Старчевский М.К., Паздерский Ю.А., Столяров И.П., Варгафтик М.Н., Моисеев И.И.) - не подлежит опубликованию в открытой печати.

59. А.С. 1047016 (СССР). Способ приготовления катализатора для окислительной этерификации алкилароматических углеводородов (Старчевский М.К., Паздерский Ю.А., Варгафтик М.Н., Моисеев И.И.) - не подлежит опубликованию в открытой печати.

60. А.С. 1095577 (СССР). Способ получения бензилхлорида (Старчевский М.К., Паздерский Ю.А., Варгафтик М.Н., Моисеев И.И.) - не подлежит опубликованию в открытой печати.

61. А.С. 1195144 (СССР). Способ получения аллилхлорида (Старчевский М.К., Паздерский Ю.А., Мокрый Е.Н., Варгафтик М.Н., Моисеев И.И.) - не подлежит опубликованию в открытой печати.

62. А.С. И150806 (СССР). Катализатор для окислительного ацетоксилирования толуола в бензилацетат (Старчевский М.К., Паздерский Д.А., Сенюта Т.Б., Кочубей В.Ф., Мокрый Е.Н., Варгафтик М.Н., Моисеев И.И.) - не подлежит опубликованию в открытой печати.

63. Решение о выдаче А.С. (СССР) по заявке № 3861714/23-04 от 8.08.1985, с приоритетом от 18.12.1984. Приготовление катализатора для очистки отходящих газов от оксида углерода (Тошинский В.И., Стромнова Т.А., Боровая В.А., Варгафтик М.Н., Атрощенко В.И., Моисеев И.И., Гранкина Н.Ф.). - не подлежит опубликованию в открытой печати.

*Варгафтик*